

УДК 537.312.612

© 1990

К ТЕОРИИ ЭЛЕКТРОННОЙ СТРУКТУРЫ И СВОЙСТВ НЕУПОРЯДОЧЕННЫХ СПЛАВОВ ЖЕЛЕЗО—ХРОМ

B. I. Анисимов, B. Г. Вакс, Г. А. Суслопаров

Выполнены расчеты электронной структуры и магнитных свойств сплавов Fe—Cr с использованием в методе когерентного потенциала (СРА) приближения канонических гибридизованных зон, соответствующего приближенному решению общих уравнений методом ASA—KKR—СРА. Это приближение позволяет существенно упростить решение данных уравнений и эффективно выполнять расчеты с самосогласованием как по зарядовой, так и по спиновой плотности. Вычисленная намагниченность $\mu(x)$ хорошо согласуется с опытом во всей области ферромагнитной фазы. Предложено выражение для локальных моментов атомов $\mu_{\text{loc}}^{100}(x)$ в СРА: полученные μ_{Cr}^{100} и μ_{Fe}^{100} в $\text{Fe}_x\text{Cr}_{1-x}$ оказываются близкими к экспериментальным μ_{exp} . Вычисленная концентрационная зависимость электронной теплоемкости вне области низкотемпературных спин-стекольных фаз в $\text{Fe}_x\text{Cr}_{1-x}$ также близка к наблюдаемой. Рассчитанные спин-поляризованные плотности электронных состояний атомов и сплава $N_{\downarrow\alpha}(\epsilon)$ и $N_{\uparrow\alpha}(\epsilon)$ резко и своеобразно меняются с x в области $0.3 \leq x \leq 0.4$, что коррелирует с наблюдаемым изменением прочностных свойств в данной области. Вне этого интервала зависимости $N_{\downarrow\alpha}$ и $N_{\uparrow\alpha}$ от x оказываются более плавными.

Электронная структура сплавов железо—хром привлекает большое внимание в связи с особенностями их механических [1], магнитных [2, 3] и низкотемпературных термодинамических [4] свойств. Измерения теплоемкости $C(T)$ сплавов $\text{Fe}_x\text{Cr}_{1-x}$ в интервале температур $1.4 < T < 4.2$ К [4] указали на наличие резких аномалий в зависимости $C(T)$ от концентрации x . Интерполируя свои результаты обычным выражением

$$C(T, x) = \gamma(x)T + \beta(x)T^3, \quad (1)$$

Ченг и др. [4] нашли, что $\gamma(x)$ имеет резкий максимум (рис. 1), а $\beta(x)$ — резкий минимум вблизи $x=x_c \approx 0.2$. В обычных металлах величины γ и β в (1) просто связаны с плотностью электронных состояний на уровне Ферми $N(E_F) \equiv N_F$ и с температурой Дебая T_D

$$\gamma_0 = \frac{1}{3}\pi^2(1+\lambda)N_F, \quad \beta = \frac{1}{5}\pi^2T_D^{-3}, \quad (2a), \quad (26)$$

где $\lambda \ll 1$ — константа электрон-фононного взаимодействия. Поэтому при стандартной интерпретации результаты [4] указывали бы на наличие очень резких максимумов в зависимостях $N_F(x)$ и $T_D(x)$ вблизи $x=x_c$. Однако измерения модулей Юнга $E(x)$ и сдвига $G(x)$ в сплавах $\text{Fe}_x\text{Cr}_{1-x}$ [5, 6] указали на довольно плавное изменение E и G с x в интервале $0 < x \leq 0.4$. Поскольку температура Дебая T_D меняется с изменением упругих модулей c_{ij} как $c_{ij}^{1/3}$, то эти данные не подтверждают наличия концентрационных аномалий в T_D вблизи x_c . Резкие аномалии в зависимости N_F от x тоже должны были бы приводить к аналогичным аномалиям в упругих модулях [7] (что и наблюдается, например, в сплавах $\text{Nb}_{1-x}\text{Mo}_x$ вблизи $x=0.4$ [8]). Кроме того, тщательные измерения концентрационной зависимости коэффициента термоэдс S в $\text{Fe}_x\text{Cr}_{1-x}$ в интервале $0 < x < 0.5$ при температурах от комнатной T , до $T \sim 1300$ К [9] также не обнаружили каких-либо немонотонностей в зависимости S от x .

вблизи $x_c = 0.2$, хотя при наличии резких аномалий в $N_F(x)$ такие немонотонности должны были бы наблюдаться [10-12].

Позднейшие измерения магнитных свойств [2, 3] обнаружили, что, кроме обычного ферромагнетизма или антиферромагнетизма, при низких $T \leq 30$ К в $\text{Fe}_x\text{Cr}_{1-x}$ возникают сложные упорядочения типа спиновых

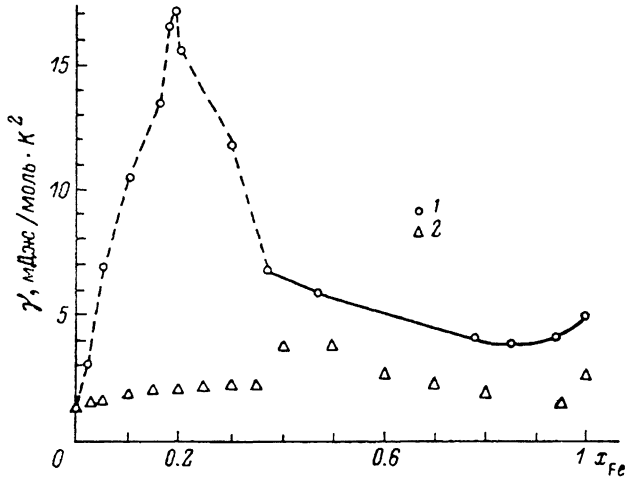


Рис. 1.

1 — экспериментальные значения коэффициента $\gamma(x)$ в (1) для сплавов $\text{Fe}_x\text{Cr}_{1-x}$ из [4], 2 — вычисленные γ_e в (2а) для $\lambda=0$.

стекол: асперомагнитное (ферромагнитное для продольных компонент и спин-стекольное для поперечных) при $0.2 < x \leq 0.3$, антиасперомагнитное (антиферромагнитное для продольных компонент и спин-стекольное для поперечных) при $0.05 \leq x < 0.2$ и спин-стекольное в переходной области $x \sim 0.2$ (рис. 2). Поскольку для фаз типа спиновых стекол

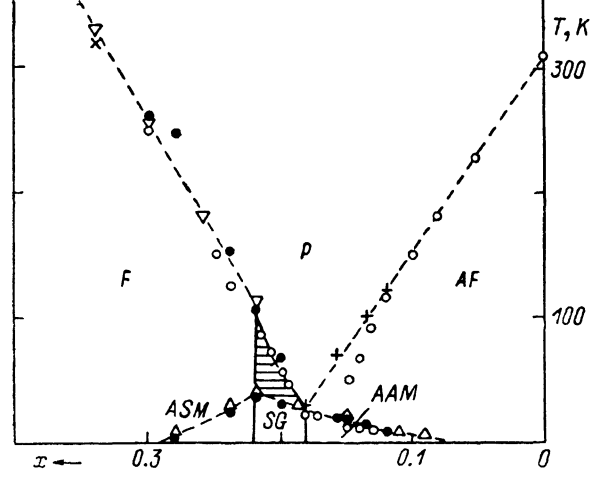


Рис. 2. Магнитная фазовая диаграмма сплавов $\text{Fe}_x\text{Cr}_{1-x}$, согласно [2, 3].

Значения Р, F, AF, ASM, AAM и SG соответствуют параметрической, ферромагнитной, антиферромагнитной, асперомагнитной и спин-стекольной фазам.

характерно наличие линейных по T членов в теплоемкости и другие особенности термодинамики [13], то переходы между этими фазами, по-видимому, и объясняют наблюдавшиеся в [4] концентрационные аномалии в низкотемпературном $C(x, T)$, которые, таким образом, могут и не быть непосредственно связанными с $N_F(x)$. В то же время в ряде характери-

стик прочности и пластичности сплавов $\text{Fe}_x\text{Cr}_{1-x}$ — микротвердости, склонности к двойникованию, температуре хладноломкости и др. [1] — при немалых $T \geqslant T_c$, и $x \leqslant 0.35$ наблюдаются отчетливые концентрационные максимумы (хотя и достаточно широкие) и возможная связь этих максимумов с особенностями электронной структуры обсуждается рядом авторов [1, 14].

Имеющиеся расчеты электронной структуры сплавов $\text{Fe}_x\text{Cr}_{1-x}$ [14–16] являются модельными, несамосогласованными, и степень их достоверности не ясна. В них применялся простейший, первоначальный, вариант приближения когерентного потенциала (CPA) [17], в котором гибридизация состояний разной угловой симметрии L (в частности, t_{2g} и e_g состояний) не учитывается, а для парциальной плотности состояний $N_L(\epsilon)$ в выражении для функции Грина сплава $F_L(\epsilon)$ используется $N_L(\epsilon)$ чистого компонента (железа или хрома), т. е. изменением $N_L(\epsilon)$ в сплаве пренебрегается. При этом в [15, 16] рассчитывались только магнитные моменты атомов $\mu_i(x)$, т. е. $\mu_{\text{Fe}}(x)$ и $\mu_{\text{Cr}}(x)$, а произвольные параметры модели подгонялись под наблюдаемую намагниченность $\bar{\mu}(x) = (1-x)\mu_{\text{Cr}} + x\mu_{\text{Fe}}$. В [14], напротив, рассматривались $N_L(\epsilon)$ и полное $N(\epsilon)$, а параметры модели подгонялись под экспериментальные данные о $\mu_i(x)$. В дополнение к названным приближениям в [14] не учитывалась также зависимость $N_L(\epsilon)$ и $N(\epsilon)$ от направления спина. Это соответствует модели «жесткой» парамагнитной зоны, которая для рассматриваемых сплавов, как показано ниже, по-видимому, не применима.

Развитие в последние годы метода ASA—KKR—CPA [18–20] сделало возможным последовательные, самосогласованные расчеты электронной структуры неупорядоченных сплавов. Однако использование данного метода связано со значительными вычислительными трудностями и его применения к конкретным сплавам пока немногочисленны [20–22]. В работе [23] был предложен метод приближенного решения уравнений ASA—KKR—CPA, основанный на использовании здесь приближения, аналогичного методу канонических гибридизованных зон в расчетах для регулярных кристаллов [24]. Этот метод, обозначаемый ниже как CHB—CPA (canonical hybridized bands—CPA), дает возможность резко упростить вычисления, а опыт расчетов для регулярных кристаллов [24] позволяет предположить, что ухудшение точности сравнительно с полным решением уравнений ASA—KKR—CPA незначительно. Метод CHB—CPA применялся к расчетам магнитных свойств сплавов Fe—Co, Ni—Mn и позволил объяснить ряд особенностей этих свойств, наблюдавшихся на опыте [23].

В настоящей работе метод CHB—CPA используется для расчетов электронной структуры сплавов Fe—Cr. Основные уравнения и приближения описываются в разделе 1, результаты обсуждаются в разделе 2. Наши первопринципные расчеты хорошо описывают наблюдаемую намагниченность $\bar{\mu}(x)$ ферромагнитных сплавов $\text{Fe}_x\text{Cr}_{1-x}$, а также характер концентрационной зависимости электронной теплоемкости $\gamma(x)$ при всех $x \geqslant 0.4$, при которых отсутствуют спин-стекольные фазы. Эти расчеты показывают также, что электронная структура данных сплавов заметно отличается от той, которая предполагалась ранее на основе модели жесткой парамагнитной зоны [1, 14]. Плотности состояний как отдельных атомов $N_{\text{Fe}}(\epsilon)$, $N_{\text{Cr}}(\epsilon)$, так и сплава $N(\epsilon)$ существенно зависят от направления спина, резко меняются с концентрацией, и в области $x \leqslant 0.4$ эти изменения, по-видимому, коррелируют с некоторыми из концентрационных аномалий механических свойств, обсуждавшихся в [1].

1. Метод и приближение расчетов

Приведем краткое описание метода CHB—CPA [23]. В методах LMTO—ASA рассеяние электрона с моментом $L=(l, m)$ на атоме i характеризуется потенциальной функцией $p_{iL}(\epsilon)$ [24]. В приближении ASA—

KKR—CPA комплексные потенциальные функции $p_{cL}(\epsilon)$ для сплава A_xB_{1-x} удовлетворяют следующим основным уравнениям [18]:

$$p_{cL} = xp_{AL} + (1 - x)p_{BL} + (p_{cL} - p_{AL})T_c^{LL'}(\hat{p}_c)(p_{cL} - p_{BL}). \quad (3)$$

Здесь матрица $T_c^{LL'}$ определяется интегралом по зоне Бриллюэна (ЗБ)

$$T_c^{LL'} = \frac{1}{\Omega_{\text{ЗБ}}} \int_{\text{ЗБ}} d^3q \left[\frac{1}{\hat{p}_c - \hat{S}(q)} \right]_{LL'}, \quad (4)$$

$\Omega_{\text{ЗБ}}$ — объем ЗБ; $\hat{S}(q) = S^{LL'}(q)$ — матрица структурных постоянных метода LMTO [24]; $\hat{p}_c = p_c^{LL'} = p_{cL}\delta_{LL'}$. Потенциальные функции $p_{AL}(\epsilon)$ и $p_{BL}(\epsilon)$ в (3) определяются рассеянием на атомах А и В с учетом самосогласования электронных плотностей в сплаве. Таким образом, при решении системы (3), (4) итерационным методом на каждом шаге итераций и для каждого значения энергии ϵ нужно вычислять интегралы по ЗБ

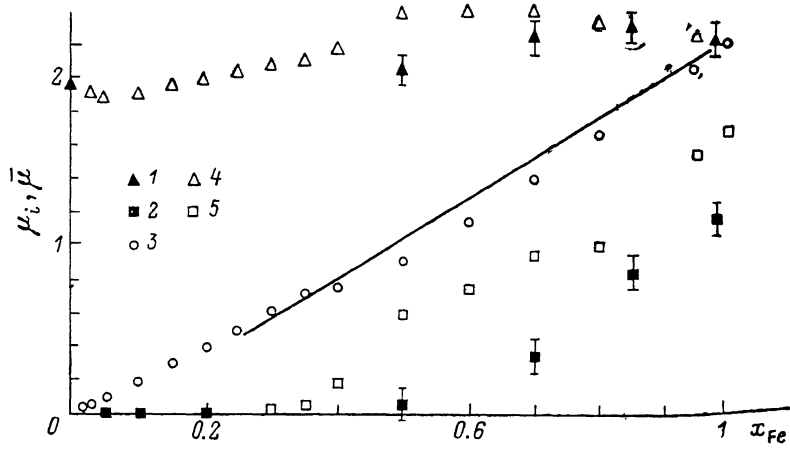


Рис. 3. Магнитные моменты атомов μ_i (в магнетонах Бора μ_B) и сплава $\bar{\mu} = x\mu_{Fe} + (1 - x)\mu_{Cr}$ для Fe_xCr_{1-x} .

Эксперимент: линия, $\bar{\mu}$ [28], μ_{Fe} [28] (1), $-\mu_{Cr}^{\text{exp}}$ [28] (2); расчет: $\bar{\mu}$ (3), μ_{Fe} (4), $-\mu_{Cr}$ (5).

(4). Это приводит к очень большим затратам времени ЭВМ. Желательно поэтому найти какое-то приближение для функции $\hat{T}_c(\hat{p}_c)$ в (4), которое позволило бы избежать повторных интегрирований по ЗБ.

Аналогичная проблема встречалась и в обычном методе LMTO—ASA, где для ее решения было предложено приближение канонических гибридизованных зон (CHVA) [24]. В нем используется то, что в ASA зонная структура зависит от энергии только через потенциальные функции $\hat{p}(\epsilon)$ и изменения этих функций $\delta\hat{p} = \hat{p} - \hat{p}^0$ при варьировании окружения атома в кристалле обычно невелики. Тогда в первом приближении по $\delta\hat{p}$ парциальную плотность состояний $N_L(\epsilon)$, соответствующую новой потенциальной функции $p_L(\epsilon)$, можно находить из функции $N_L^0(\epsilon)$, вычисленной при некоторых начальных потенциальных функциях $\hat{p}_L^0(\epsilon)$, с помощью простого масштабного преобразования (см. § 2.6 в [24]). При этом в приближении канонических зон, полностью пренебрегающем гибридизацией состояний с разными L , метод CHVA был бы точным, так что его погрешность связана только с неучетом изменений гибридизационных вкладов вследствие эффектов самосогласования.

Приближение CHVA—CPA для решения уравнений (3), (4) использует те же представления, что и CHVA в [24]. Для рассматриваемых кубических сплавов d -металлов диагональные элементы матрицы $\hat{T}(\hat{p}_c)$ в (4) есть функции от четырех переменных p_c^r , где r — индекс неприводимого

представления точечной группы O_h (соответствующий s -, p - или d -орбитальным), т. е. a_{1g} , t_{1u} , t_{2g} или e_g ,

$$T^{rr}(\varepsilon) = \Phi_r [p_c^{a_1g}(\varepsilon), p_c^{t_{1u}}(\varepsilon), p_c^{t_{2g}}(\varepsilon), p_c^{e_g}(\varepsilon)]. \quad (5)$$

Приближение канонических зон здесь эквивалентно предположению, что матричный элемент (5) зависит только от одной переменной с тем же значением r

$$T_c^{rr}(\varepsilon) = \tilde{\Phi}_r [p_c^r(\varepsilon)]. \quad (6)$$

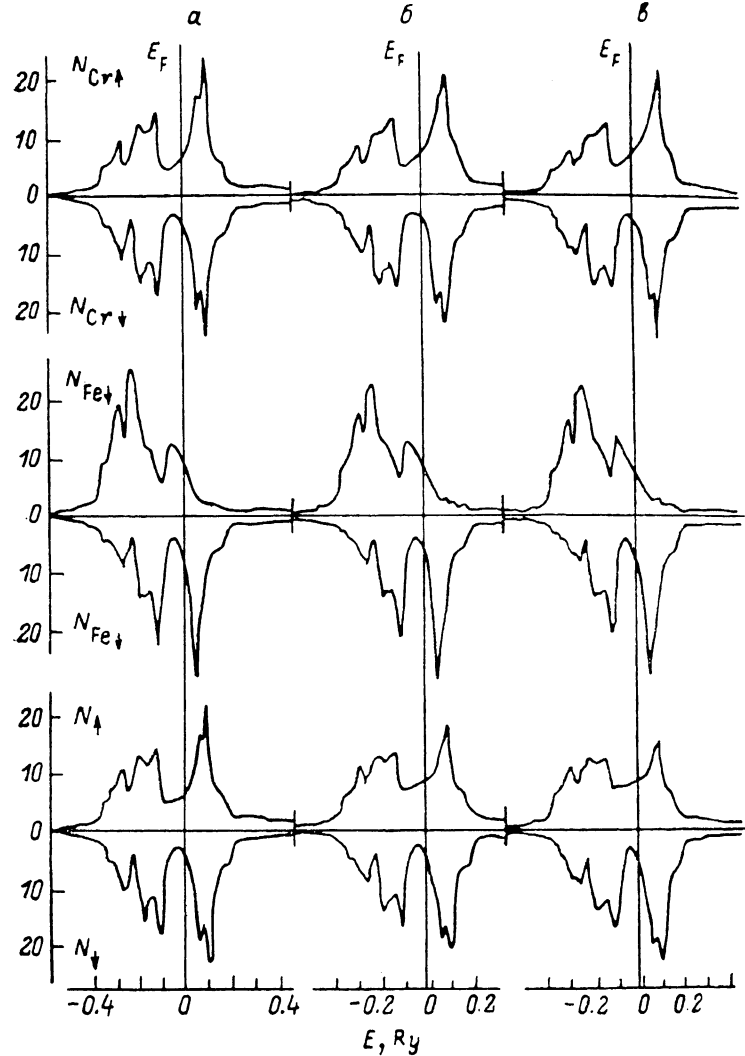


Рис. 4. Плотности электронных состояний в $\text{Fe}_x\text{Cr}_{1-x}$ на атомах хрома $N_{\text{Cr}\uparrow\uparrow}$, $\downarrow\downarrow$, железа $N_{\text{Fe}\uparrow\uparrow}$, $\downarrow\downarrow$ и в сплаве $N_{\uparrow\uparrow} = xN_{\text{Fe}\uparrow\uparrow} + (1-x)N_{\text{Cr}\uparrow\uparrow}$ (в $1/\text{Ry} \cdot \text{атом}$) для $x = 0.1$ (α), 0.2 (β) и 0.25 (γ).

В СНВ—СРА мы выполняем интегрирование по ЗБ в (4) для некоторых начальных функций $p_0^r(\varepsilon)$, например соответствующих чистому металлу матрицы, и получаем функции $T_c^{rr}(\varepsilon)$. При нахождении же следующих итераций $T_c^{rr}(\varepsilon)$ мы используем уже приближение (6), представляя T_c^{rr} с помощью интеграла Коши по одной переменной p_c^r

$$T_c^{rr}(p_c^r) = \frac{1}{2\pi i} \int_{-\infty}^{+\infty} dp_0^r \frac{T_c^{rr}(p_0^r)}{p_0^r - p_c^r}. \quad (7)$$

При этом функция $T_0^{rr}(p_0^r)$ определяется двумя функциями, $T_0^{rr}(\varepsilon)$ и $p_0^r(\varepsilon)$. Данное приближение представляется существенно более точным, чем простое пренебрежение гибридизацией, т. е. недиагональными элементами матрицы $\hat{S}(\mathbf{q})$ в (4), которое (наряду с другими приближениями) использовалось в [14–17] и соответствует в LMTO приближению канонических зон. Мы же полностью учитываем гибридизационные вклады при построении функций $T_0^{rr}(p_0^r)$ и пренебрегаем только их изменением при

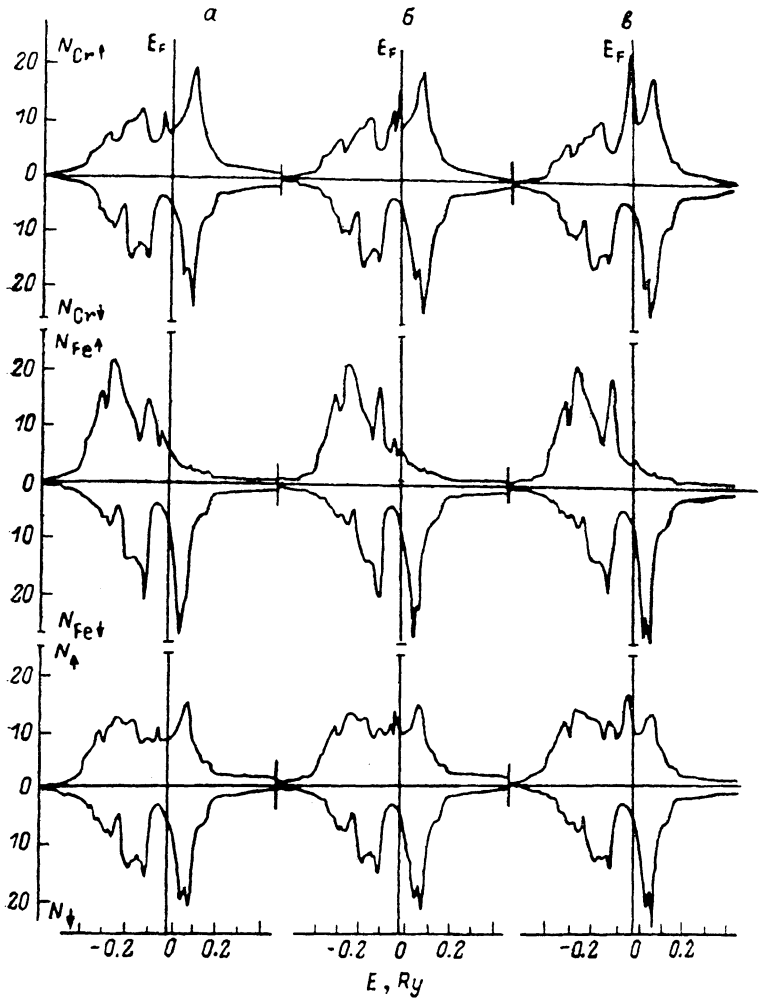


Рис. 5.

То же, что и на рис. 4, для $x=0.3$ (а), 0.35 (б) и 0.4 (в).

переходе от чистого металла к сплаву. Это вполне аналогично методу CHVA в LMTO [24] и кажется достаточно хорошим приближением для сплавов d -металлов. В то же время используемый метод резко сокращает объемы вычислений сравнительно с полным ASA–KKR–CPA и позволяет достаточно быстро проводить расчеты, самосогласованные и по зарядовой, и по спиновой плотности [28].

При рассмотрении сплавов $\text{Fe}_x\text{Cr}_{1-x}$ мы будем также предполагать, что спиновые состояния всех атомов Fe или Cr в сплаве одинаковы, поэтому формально наше рассмотрение применимо только к области ферромагнитной фазы. Однако полученные результаты позволяют предположить, что результаты для плотности состояний (рис. 4–6) могут быть достаточно точными также и в практически интересной парамагнитной области $T \geq T_r$, $x \leq 0.3$. Действительно, из рис. 3 видно, что в этой

области намагнченность $\bar{\mu}(x)$ весьма мала, так что не учитываемые нами температурные или корреляционные эффекты могут в действительности легко разрушить ферромагнитный дальний порядок. В то же время хоршее согласие вычисленного и наблюдаемого $\bar{\mu}(x)$ во всей исследованнойся области $x \geq 0.27$, так же как и обсуждаемые ниже результаты для локальных моментов μ_{Fe}^{100} и μ_{Cr}^{100} , позволяет предположить, что локальные характеристики электронной плотности, которые обычно малочув-

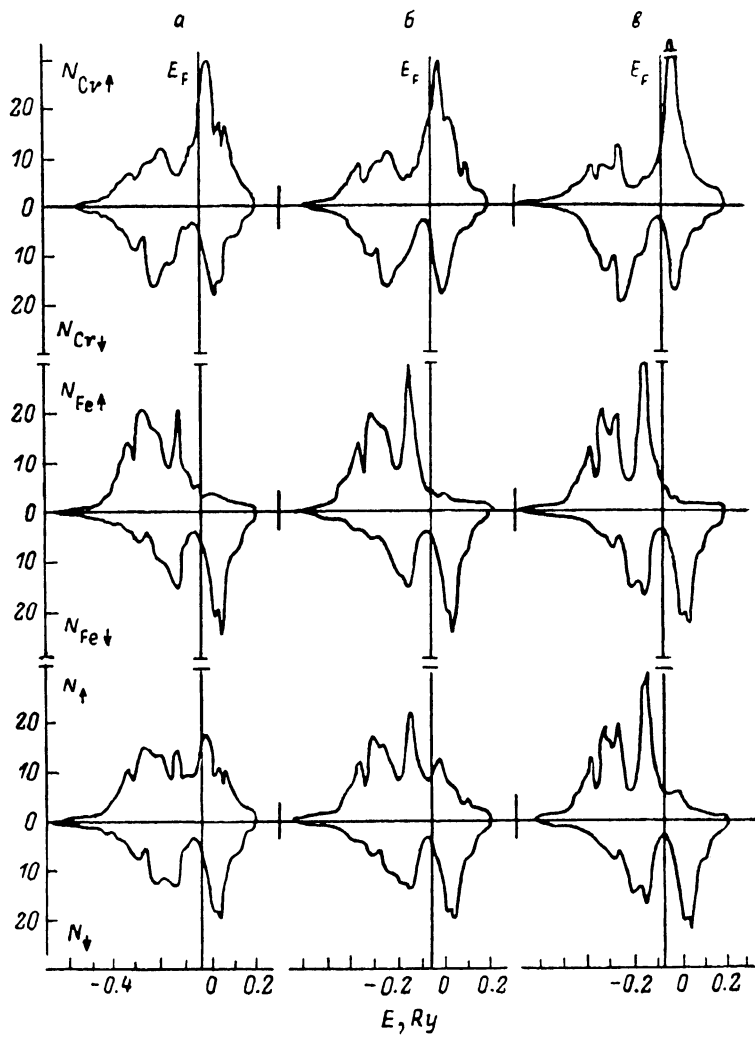


Рис. 6.

То же, что и на рис. 4, для $x=0.5$ (а), 0.7 (б) и 0.9 (с).

ствительны к дальнему порядку, достаточно точно рассчитываются также и в области малых x .

Функции $T''_0(p'_0)$ в (7) для $\text{Fe}_x\text{Cr}_{1-x}$ при $x \leq 0.4$ находились с использованием полных LMTO-расчетов для парамагнитного Cr, а при $x \geq 0.5$ для ферромагнитного Fe. При построении начальных итераций для самосогласованных потенциалов $V_s(r)$ и потенциальных функций p'_0 в области малых x или $1-x$ мы проводили полные LMTO-расчеты для изолированной примеси (соответственно Fe в Cr или Cr в Fe) по методу [25-27]. Дальнейшие расчеты выполнялись с шагом по концентрации Δx от 0.01 до 0.1, и сходимость процедуры самосогласования от значений для предыдущего x была достаточно быстрой как по V_s , так и по p'_0 [28].

2. Результаты расчетов и обсуждение

Результаты наших расчетов представлены на рис. 1, 3–6. Видно, что все результаты для сплавов с $x \leq 0.4$ и с $x \geq 0.5$ на рис. 1, 3 и 5, 6 достаточно хорошо сшиваются друг с другом, хотя в первой области функции $T_0''(p_0')$ в (7), как отмечалось, рассчитывались исходя из чистого Cr, а во второй — из чистого Fe. Это указывает на достаточную согласованность используемых приближений.

Обсуждение результатов мы начнем с магнитных свойств, поскольку здесь возможно наиболее полное сравнение с экспериментом. Как видно из рис. 3, наши расчеты хорошо описывают наблюдаемую намагниченность $\bar{\mu}(x)$ при всех исследовавшихся x : максимальное расхождение (при $x=0.5$) составляет 10 %. Отметим в связи с этим, что данные расчеты являются полностью первоначальными и не содержат каких-либо подгоночных параметров в отличие, например, от [15, 16], в которых параметры модели подгонялись именно под наблюдаемое $\bar{\mu}(x)$.

Вычисленные моменты атомов μ_{Cr} в согласии с экспериментом направлены противоположно μ_{Fe} . Однако их величины на рис. 3 заметно расходятся с $\mu_{\text{Cr}}^{\text{exp}}$, оцененными из данных о рассеянии нейтронов в [29], так же как и значение μ_{Fe} при $x=0.5$. Заметим, однако, что при оценках μ_i^{exp} в [29] использовался ряд предположений о виде магнитных структурных факторов, точность которых не вполне ясна и дискутировалась [16]. Если же считать, что величина μ_i^{exp} в [29] имеет смысл не момента μ_i отдельной ячейки, занятой атомом i (который вычисляется нами в СРА), а полного локального момента μ_i^{100} , создаваемого этим атомом в сплаве, то значение μ_i^{exp} отличается от μ_i на вклад $\delta\mu_i$ поляризации окружения. Выведем в связи с этим выражение для $\delta\mu_i$ в СРА. Величина μ_i^{100} определяется соотношением

$$\mu_i^{100} - \bar{\mu} = \left\langle \sum_{\mathbf{R}} (\mu_{\mathbf{R}} - \bar{\mu}) \right\rangle, \quad (8)$$

где сумма идет по всем ячейкам с координатами \mathbf{R} относительно данной; $\langle \dots \rangle$ означает усреднение по сплаву и в используемом приближении $\bar{\mu} = \sum x_i \mu_i(x_i)$, где $\mu_i(x_i)$ — моменты отдельных ячеек, вычисленные в СРА.

При полном пренебрежении корреляцией между ячейками в сумме (8) отлично от нуля только слагаемое с $\mathbf{R}=0$ и $\mu_i^{100} = \mu_i(x_i)$. В следующем, первом, приближении метода СРА (являющемся одним из вариантов приближения среднего поля) нужно учесть корреляцию в расположении ближайших соседей, т. е. то, что для этих ближайших соседей ячейка с $\mathbf{R}=0$ достоверно (а не со средней вероятностью x) занята атомом i . Поэтому для них среднее число ближайших соседей сорта k вместо безусловного среднего $z x_k$ (z — полное число ближайших соседей в решетке) равно $\bar{N}_k = (z-1) x_k + \delta_{ik}$, где δ_{ik} — символ Кронекера, так что эффективную концентрацию сплава x_k^{eff} для этих атомов следует оценить как

$$x_k^{\text{eff}}(i) = \bar{N}_k/z = (1 - 1/z) x_k + \delta_{ik}/z. \quad (9)$$

Это выражение отличается от x_k на корреляционную поправку, пропорциональную $1/z$. Таким образом, в используемом приближении СРА в выражения $\langle \mu_{\mathbf{R}} \rangle$ в (8) для этих ближайших соседей вместо $\mu_k(x_k)$ естественно подставлять $\mu_k(x_k^{\text{eff}})$. Это приводит к следующему выражению для локального момента:

$$\mu_i^{100} = \mu_i(x_i) + \delta\mu_i = \mu_i(x_i) + z \sum_k \omega_k (\mu_k[x_k^{\text{eff}}(i)] - \mu_k(x_k)). \quad (10)$$

Отметим, что при суммировании по сплаву вклады поляризационных поправок в средний момент $\bar{\mu}$ с точностью до членов порядка $1/z$ (т. е. высших поправок по корреляциям) сокращаются

$$\sum_i x_i \delta \mu_i = \sum_k x_k \frac{\partial \mu_k}{\partial x_k} \sum_i x_i (\delta_{ik} - x_k) = 0. \quad (11)$$

Это подтверждает самосогласованность всех используемых приближений.

Если вычислять $\mu_i^{\text{loc}}(x)$ по (10) для сплавов $\text{Fe}_x\text{Cr}_{1-x}$, то получающиеся значения оказываются уже весьма близкими к $\mu_i^{\text{exp}}(x)$ из [29]. Так, при $x \rightarrow 1$ имеем $\mu_{\text{Cr}}^{\text{loc}} = -1.05$, а $\mu_{\text{Cr}}^{\text{exp}}(0.98) = -1.16 \pm 0.1$; при $x = 0.5$ $\mu_{\text{Cr}}^{\text{loc}} = -0.2$, $\mu_{\text{Fe}}^{\text{loc}} = 2.0$, а $\mu_{\text{Cr}}^{\text{exp}} = -0.05 \pm 0.1$, $\mu_{\text{Fe}}^{\text{exp}} = 2.05 \pm 0.1$. Таким образом, если значения μ_i^{exp} из [29] имеют смысл μ_i^{loc} , то наши расчеты хорошо согласуются с этими экспериментами.

Обсудим теперь результаты для электронной теплоемкости (рис. 1). Согласно (2а), в наблюдаемое γ_e входит константа электрон-фононного взаимодействия λ , которую мы не рассчитывали, так что для сопоставления с экспериментом нужно делать какие-либо предположения о зависимости $\lambda(x)$. Простейшим и часто используемым является предположение, что λ меняется с x более плавно, чем $N_F(x)$. Такая гипотеза кажется особенно естественной, если фоновые спектры ω_k в сплаве слабо меняются с концентрацией. Это, по-видимому, справедливо для $\text{Fe}_x\text{Cr}_{1-x}$: спектры ω_k в сплаве $\text{Fe}_{0.3}\text{Cr}_{0.7}$ [30] в основном сходны с ω_k как в чистом хроме, так и в железе, являясь как бы промежуточными между ними. Если же предположить, что $\lambda = \text{const}$, то, как видно из рис. 1, изменение вычисленного γ_e с x во всей области $0.4 \leq x \leq 1$ аналогично экспериментальному $\gamma(x)$ из [4]. В то же время в области $x \leq 0.35$ (т. е. там, где, согласно [2, 3], можно ждать эффектов, связанных со спин-стекольным ближним порядком и упорядочением) начинается резкий рост экспериментального $\gamma(x)$, в то время как вычисленное γ_e здесь невелико и примерно постоянно. Поэтому разность между экспериментальным $\gamma(x)$ и теоретическим γ_e на рис. 1 можно использовать для оценки вкладов в низкотемпературное $\gamma(x)$, связанных со спин-стекольными эффектами (особенно если при этом ввести в γ_e поправочный множитель $1 + \lambda(x)$ и воспользоваться для $\lambda(x)$, например, линейной по x интерполяцией между значениями $\lambda_{\text{Cr}} \approx 0$ и $\lambda_{\text{Fe}} \approx 1$).

Результаты расчетов плотности состояний с поляризацией α для каждого из атомов $N_{i\alpha}(\varepsilon)$ и сплава $N_\alpha(\varepsilon) = \sum_i x_i N_{i\alpha}$ представлены на рис. 4–6. Функции $N_{i\alpha}(\varepsilon)$ для случаев изолированных примесей $x \rightarrow 0$ или $x \rightarrow 1$ представлены в [26, 27] и в основном сходны с приводимыми здесь для $x=0.1$ или $x=0.9$: вид $N_{i\alpha}(\varepsilon)$ резко зависит от направления спина α , так что модель жесткой парамагнитной зоны здесь имеет очень плохую точность; концентрационная зависимость как $N_{i\alpha}(\varepsilon)$, так и полных $N_\alpha(\varepsilon)$ является своеобразной. В области $x \leq 0.25$ изменения этих функций с x сравнительно невелики и характер зонной структуры в целом сходен с $N(\varepsilon)$ в парамагнитном хроме. Однако при $0.3 \leq x \leq 0.4$ вид функций $N_{i\alpha}(\varepsilon)$ и $N_\alpha(\varepsilon)$ начинает резко меняться в основном в связи с «прорастанием» пиков в $N_{\text{Cr}\uparrow}(\varepsilon)$ и в полном $N_\uparrow(\varepsilon)$ вблизи уровня Ферми. Это еще раз иллюстрирует, в частности, неприменимость моделей типа жесткой зоны кенным сплавам. При дальнейшем росте x изменения $N_{i\alpha}(\varepsilon)$ с x становятся менее резкими (рис. 6), хотя полные N_α продолжают заметно меняться.

Таким образом, настоящие расчеты, так же как и упоминавшиеся эксперименты [5, 6, 8], не подтверждают наличия каких-либо аномалий в зонной структуре $\text{Fe}_x\text{Cr}_{1-x}$ вблизи $x=0.2$, которые предполагались ранее [1, 14]. В то же время они показывают, что наиболее резкие концентрационные изменения зонной структуры, связанные, в частности, с прохождением уровня Ферми через пики в плотностях состояний, происходят в области $x=0.3 \div 0.4$.

Отметим в этой связи, что основные и наиболее резкие изменения с x прочностных характеристик сплавов $\text{Fe}_x\text{Cr}_{1-x}$ также происходят именно в этой области. Так, согласно рис. 154, 161 и 162 в [1], максимумы микротвердости $H_V(x)$, склонности к двойникованию $1/P_{\text{cr}}$, критического на-

прижения сдвига $\tau_{\text{ep}}(0)$ и температуры хладколомкости T_x в $\text{Fe}_x\text{Cr}_{1-x}$ соответствуют $x \approx 0.3$. С дальнейшим же ростом x от 0.3 до 0.4 все эти величины начинают резко падать, в то время как в области $0 < x < 0.3$ они меняются (растут) с x более плавно и приблизительно линейно. Заметим также, что, как показали оценки влияния особенностей зонной структуры на модули сдвига в переходных [31] и щелочновемельных металлах, это влияние обычно оказывается связанным не только с особенностями $N(\epsilon)$ в непосредственной близости к уровню Ферми E_F (как в простейших моделях [7]), но и со всеми изменениями $N(\epsilon)$ в области занятых состояний $\epsilon < E_F$. Того же естественно ожидать и для других, в частности прочностных, свойств. Поэтому весьма слабые изменения с x значений плотности состояний на уровне Ферми $N_F(x)$ для $x = 0.25 \pm 0.35$ на рис. 1 отнюдь не указывают на неизменность атомных свойств. Из рис. 4, 5 видно, что полная зонная структура при этих x меняется весьма существенно, и того же можно ждать для различных характеристик связи и прочности.

В заключение отметим, что в целом расчеты настоящей работы хорошо коррелируют с различными экспериментальными данными о сплавах $\text{Fe}_x\text{Cr}_{1-x}$ и, видимо, позволяют существенно уточнить представления об электронной структуре этих сплавов.

Авторы благодарны Г. Г. Курдюмовой за ценные обсуждения экспериментальных данных о прочностных свойствах сплавов железо—хром.

Список литературы

- [1] Трефилов В. И., Мильман Ю. В., Фирстов С. А. // Физические основы прочности тугоплавких металлов. Киев, 1975. Гл. 5.
- [2] Дорофеев Ю. А., Меньшиков А. З., Такзей Г. А. // ФММ. 1983. Т. 55. № 5. С. 948—954.
- [3] Burke S. K., Cywinski R., Davis J. R., Rainford B. D. // J. Phys. F. 1983. V. 13. N. 2. P. 441—482.
- [4] Cheng C. H., Wei C. T., Beck P. A. // Phys. Rev. 1960. V. 120. N. 2. P. 426—436.
- [5] Hausch G., Török E. // Phys. St. Sol. (a). 1977. V. 40. N. 1. P. 55—62.
- [6] Lenkkeri J. T. // J. Phys. F. 1980. V. 10. N. 4. P. 611—618.
- [7] Vaks V. G., Trefilov A. V. // J. Phys. F. 1988. V. 18. N. 2. P. 213—235.
- [8] De Camargo P. C., Brotzen F. R., Steinemann S. // J. Phys. F. 1987. V. 17. P. 1065—1079.
- [9] Cox J. E., Lucke W. H. // J. Appl. Phys. 1967. V. 38. N. 10. P. 3851—3855.
- [10] Вакс Б. Г., Трефилов А. В., Фомичев С. В. // ЖЭТФ. 1981. Т. 80. № 4. С. 1613—1621.
- [11] Ведерников М. В., Двуниткин В. Г., Бурков А. Т. // Препринт ЛФТИ. 1987. № 1148.
- [12] Башкатов Н. В., Сорокин Н. Л. // ФТТ. 1989. Т. 31. № 5. С. 326—327.
- [13] Binder K., Young A. P. // Rev. Mod. Phys. 1986. V. 58. N. 4. P. 801—976.
- [14] Минаков В. Н., Грицишина Л. Н., Лисенко А. А., Курапов Ю. А., Журавлев А. Ф., Добропольский В. Д., Синельниченко А. К., Быстренко Т. А., Иванченко В. В. // Препринт ИПМ. Киев, 1989. № 3.
- [15] Frollani G., Mensinger F., Sacchetti F. // Phys. Rev. B. 1975. V. 11. N. 5. P. 2030—2035.
- [16] Sacchetti F. // Sol. St. Comm. 1980. V. 34. N. 4. P. 265—267.
- [17] Kirkpatrick S., Velicky B., Ehrenreich H. // Phys. Rev. B. 1970. V. 1. N. 8. P. 3250—3263.
- [18] Temmerman W. M., Gyorffy B. L., Stocks G. M. // J. Phys. F. 1978. V. 8. N. 12. P. 2461—2492.
- [19] Faulkner J. S., Stocks G. M. // Phys. Rev. B. 1980. V. 21. N. 8. P. 3222—3244.
- [20] Gordon B. E., Temmerman W. M., Gyorffy B. L. // J. Phys. F. 1981. V. 2. N. 4. P. 821—857.
- [21] Da Silva E. Z., Strange P., Temmerman W. M., Gyorffy B. L. // Phys. Rev. B. 1987. V. 36. N. 6. P. 3015—3025.
- [22] Temmerman W. M., Durham P. J., Szotek Z., Sov M., Larsson C. G. // J. Phys. F. 1988. V. 18. N. 12. P. 2387—2408.
- [23] Анисимов В. И., Афанасьев И. В. // ФММ. 1990. Т. 69. № 5.
- [24] Skriver H. L. The LMTO Method. Springer—verlag: Berlin, Heidelberg, 1984.
- [25] Gunnarson O., Jepsen O., Andersen O. K. // Phys. Rev. B. 1983. V. 27. N. 12. P. 7144—7168.
- [26] Anisimov V. I., Antropov V. P., Liechtenstein A. I., Gubanov V. A., Postnikov A. V. // Phys. Rev. B. 1988. V. 37. N. 10. P. 5598—5602.

- [27] Antropov V. P., Anisimov V. I., Liechtenstein A. I., Postnikov A. V. // Phys. Rev. B. 1988. V. 37. N 10. P. 5603—5605.
- [28] Aldred A. T. // Phys. Rev. B. 1976. V. 14. N 1. P. 211—227.
- [29] Aldred A. T., Rainford B. D., Kouvel J. S., Hicks T. J. // Phys. Rev. B. 1976. V. 14. N 1. P. 228—234.
- [30] Lloyd R. G., Cussen L. D., Mitchell P. W. // Sol. St. Comm. 1988. V. 66. N 2. P. 109—113.
- [31] Ohta Y., Shimizu M. // J. Phys. F. 1983. V. 13. N 4. P. 761—778.

Институт атомной энергии им. И. В. Курчатова
Москва
Институт физики металлов УрО АН СССР
Свердловск

Поступило в Редакцию
11 октября 1989 г.
